

ОБЪЕДИНЕННЫЙ  
ИНСТИТУТ  
ЯДЕРНЫХ  
ИССЛЕДОВАНИЙ  
ДУБНА

Е 812

Р3-88-371

С.Т.Бонева, Э.В.Васильева, Л.А.Малов,  
Ю.П.Попов, А.М.Суховой, В.А.Хитров

ИНТЕНСИВНЫЕ ДВУХКВАНТОВЫЕ КАСКАДЫ  
И ФРАГМЕНТАЦИЯ  
КВАЗИЧАСТИЧНЫХ СОСТОЯНИЙ  
В НЕКОТОРЫХ ДЕФОРМИРОВАННЫХ ЯДРАХ

Направлено в журнал "Ядерная физика"

1988

## 1. ВВЕДЕНИЕ

При изучении закономерностей каскадного  $\gamma$ -распада<sup>1/</sup> компаунд-состояний ряда деформированных ядер из области 4S-максимума нейтронной силовой функции выявлены следующие его особенности<sup>2-4/</sup>:

1. В каждом из исследованных ядер наблюдается  $150 \div 250$  очень интенсивных двухквантовых каскадов. Анализ распределения их интенсивности, выполненный, например, для  $^{165}\text{Dy}^{2/}$ , показал, что наличие таких каскадов невозможно объяснить портер-томсовскими флуктуациями ширин первичных  $\gamma$ -переходов каскадов.

2. Как правило, эти интенсивные каскады идут через небольшие группы близколежащих промежуточных уровней, расположенные в определенных энергетических интервалах. Экспериментальные суммарные интенсивности всех двухквантовых каскадов между компаунд-состоянием и конечным низколежащим уровнем с большой одночастичной компонентой существенно /в 1,5-2,5 раза/ превышают значения, рассчитанные по статистической теории. Такая ситуация наиболее четко проявляется в ядрах  $^{175}\text{Yb}^{3/}$  и  $^{170}\text{Hf}^{4/}$ .

3. Очень вероятно, что интенсивность двухквантовых каскадов в четно-нечетных ядрах 4S-максимума нейтронной силовой функции коррелирует<sup>4/</sup> со значением  $\Gamma_n^0 / <\Gamma_n^0>$  нейтронных резонансов, то есть с параметром, который может служить мерой относительной одночастичности распадающихся компаунд-состояний исследованных ядер.

Основной вывод, следующий из наблюдаемых в<sup>2-4/</sup> особенностей каскадного  $\gamma$ -распада ядер области 4S-максимума нейтронной силовой функции, заключается в том, что в радиационной силовой функции  $\gamma$ -переходов из компаунд-состояния на низколежащие уровни отражаются какие-то структурные особенности исследованных ядер.

Сопоставление результатов экспериментов с качественными предсказаниями квазичастично-фононной модели ядра /КФМЯ/ позволило авторам работ<sup>2-4/</sup> высказать предположение, что наблюдаемые эффекты могут быть связаны с особенностями фрагментации одноквазичастичных состояний деформированного потенциала<sup>5/</sup>.

Представляется интересным провести более детальное сопоставление результатов эксперимента с приближенным описанием фрагментации квазичастичных состояний в рамках КФМЯ с целью уточнения возможных причин усиления интенсивности двухквантовых каскадов. Очень информативным в этом плане могло бы быть сопоставление интенсивностей каскадов со значениями спектральных факторов уровней, возбуждаемых ими. Наиболее интенсивные двухквантовые каскады в рассматриваемых ядрах возбуждают промежуточные состояния в диапазоне энергий составного ядра  $E^* = 2 \div 4$  МэВ. Анализ результатов реакции ( $d, p$ ) в этой области возбуждений в настоящее время, к сожалению, практически невозможен из-за высокой плотности уровней и наличия большого набора орбитальных моментов, участвующих в этой реакции.

Следует отметить, что существует принципиальная возможность экспериментального выделения состояний с орбитальными моментами  $\ell = 0$  и  $\ell = 1$ , которые соответствуют уровням, возбуждаемым интенсивными каскадами: в  $^{185}\text{Dy}$  показано, что основная масса  $\gamma$ -квантов при распаде компаунд-состояния имеет дипольный характер. Следовательно, если дополнить анализ энергий протонов в реакции ( $d, p$ ) анализом энергий  $\gamma$ -переходов в соответствующих каскадах, то можно из массы возбуждаемых в ( $d, p$ ) - реакции состояний выделить /по крайней мере/ состояния со спинами  $I = 1/2$  и  $3/2$ .

## 2. ГАММА-ПЕРЕХОДЫ И КВАЗИЧАСТИЧНО-ФОНОННАЯ МОДЕЛЬ ЯДРА

Значения  $(I'')_\lambda = 1/2^+$  компаунд-состояний  $\lambda$  исследованных четно-нечетных составных ядер и  $(I'')_f = 1/2^- - 5/2^-$  для их конечных уровней  $f$  большинства исследованных двухквантовых каскадов определяют наиболее вероятную последовательность  $\gamma$ -переходов в них как  $E1 + M1(E2)$ -переходы, то есть первый переход, по всей видимости, имеет мультипольность  $E1$ . Этот факт прямо установлен  $^{6,7}$  для первичных  $\gamma$ -переходов наиболее сильных каскадов в  $^{185}\text{Dy}$ , имеющих энергию порядка половины энергии связи нейтрона в этом ядре.

Учитывая указанные выше особенности  $\gamma$ -распада компаунд-состояний ядер из области 4S-максимума нейтронной силовой функции, можно предположить, что в  $\gamma$ -распаде некоторых ядер играют роль усиленные /так называемые нестатические/ компоненты волновых функций состояний, связываемых каскадом.

Наиболее интенсивные прямые  $\gamma$ -переходы на конечные низко-лежащие состояния  $f$  /с большой одночастичной компонентой в

структуре их волновых функций/ вместе с интенсивными, разрешенными экспериментально  $^{6+10}$  двухквантовыми каскадами, заселяющими те же состояния  $f$ , имеют общую интенсивность

$$\Sigma I = \sum_f i_{\gamma} + \sum_f i_{\gamma\gamma} \approx 50\%$$

от полной радиационной ширины /или общей интенсивности всех первичных переходов распада/ компаунд-состояний ядер  $^{185}\text{Dy}$ ,  $^{175}\text{Yb}$  и  $^{179}\text{Hf}$ , возбуждаемых при захвате тепловых нейтронов. Большое значение величины  $\Sigma I$  в отмеченных ядрах означает, что наблюдавшиеся экспериментально максимумы в зависимости  $\Sigma I$  от энергии соответствующих первичных переходов /см.  $^{2-4}$  и рис. 2-4 ниже/ отражают реально существующее увеличение радиационной силовой функции при определенных значениях энергий первичных  $\gamma$ -переходов.

Запишем волновую функцию возбужденного сложного состояния деформированного A-нечетного ядра в обозначениях КФМЯ  $^{11}$  в следующем виде:

$$\Psi_\lambda = \left\{ \sum_{P_\lambda} C_{P_\lambda} a_{P_\lambda}^+ + \sum_{g_\lambda} D_{g_\lambda} (a^+ Q^+) g_\lambda + \sum_{G_\lambda} E_{G_\lambda} (a^+ Q^+ Q^+) G_\lambda^+ \dots \right\} \Psi_0. \quad /1/$$

Здесь  $a^+$ ,  $Q^+$  - операторы рождения квазичастиц и фононов,  $C_{P_\lambda}$ ,  $D_{g_\lambda}$ ,  $E_{G_\lambda}$  - амплитуды различных компонент волновой функции, записанных в порядке их сложности;  $P_\lambda$  - квазичастичные компоненты,  $g_\lambda$  - компоненты квазичастица + фонон,  $G_\lambda$  - квазичастица + два фонона и т.д.

Тогда схематически выражение для амплитуды электромагнитного  $E1$  - /или  $M1$  - перехода  $\lambda \rightarrow t$  из компаунд-состояния  $\lambda$  в промежуточное состояние  $t$  можно записать в виде

$$M_{\lambda t} \{ E1(M1), [(I'')_\lambda \rightarrow (I'')_t] \} = \sum_{P_\lambda P_t} C_{P_\lambda} C_{P_t} v_{P_\lambda P_t} P_{P_\lambda P_t} + \\ + \sum_{P_\lambda P_t g_\lambda g_t} (C_{P_\lambda} D_{g_t} + C_{P_t} D_{g_\lambda}) M_{g_\lambda g_t^+} \sum_{g_\lambda g_t} D_{g_\lambda} D_{g_t} P_{g_\lambda g_t^+} + \\ + \sum_{g_\lambda g_t G_\lambda G_t} (D_{g_\lambda} E_{G_t} + D_{g_t} E_{G_\lambda}) M_{G_\lambda G_t} \sum_{G_\lambda G_t} E_{G_\lambda} E_{G_t} P_{G_\lambda G_t} + \dots \quad /2/$$

Величины  $P$  и  $M$  в правой части /2/ включают матричные элементы  $E1$  - / $M1$  - перехода;  $v_{P_\lambda P_t} = u_{P_\lambda} u_{P_t} - v_{P_\lambda} v_{P_t}$ , где  $u_{P_\lambda}$ ,  $v_{P_\lambda}$  - коэффициенты канонического преобразования Боголюбова.

Из /2/ видно, что в вероятность  $\gamma$ -перехода между сложными состояниями /1/ вносят вклад компоненты произвольной сложности. Поэтому точный расчет вероятности  $\gamma$ -перехода, полный его анализ и сопоставление с экспериментальными данными представляют заметные сложности для теории. В этом реакция  $\gamma$ -распада существенно отличается, например, от реакции передачи нуклона, сечение которой зависит, в основном, лишь от амплитуд одноквазичастичных конфигураций /12/. Однако в случае, когда одно из состояний /например, промежуточное состояние  $t$ / по структуре близко к одноквазичастичному /т.е. все компоненты /1/, кроме  $C_{\rho_t}$ , малы/, основной вклад в  $M_{\lambda t}$  будет определяться лишь двумя первыми суммами правой части /2/. Аналогичное /2/ выражение можно записать для амплитуды перехода  $t \rightarrow f$  и, учитывая одноквазичастичный характер конечного состояния  $f^{/2-14, 18/}$ , можно ожидать, что в этом случае основной вклад в /2/ будет давать первая сумма. В данной работе анализируется вклад в /2/, даваемый лишь одноквазичастичными компонентами волновых функций состояний, участвующих в процессе  $\gamma$ -распада компаунд-состояний ( $\lambda \rightarrow t \rightarrow f$ ). Такой анализ следует считать начальным этапом, а выводы из него - предварительными.

### 3. ЭКСПЕРИМЕНТАЛЬНЫЕ ИНТЕНСИВНОСТИ ПЕРВИЧНЫХ $\gamma$ -ПЕРЕХОДОВ КАСКАДОВ

Для проверки гипотезы о связи усиления интенсивности некоторых групп первичных переходов с фрагментацией одноквазичастичных состояний сравним положение максимумов структур в функциях распределения величин  $\Sigma I$  по энергии первичного  $\gamma$ -перехода с рассчитанным распределением силы одноквазичастичных состояний по энергии возбуждения ядра.

Интенсивность  $i_\gamma$  прямого  $\gamma$ -перехода пропорциональна отношению парциальной ширины перехода  $\Gamma_{\lambda f}$  к полной ширине  $\Gamma_\lambda$  распавшегося уровня  $\lambda$ :

$$i_\gamma = \Gamma_{\lambda f} / \Gamma_\lambda . \quad /3/$$

Для двухквантового каскада, связывающего уровни  $\lambda \rightarrow t \rightarrow f$ , интенсивность  $i_{\gamma\gamma}$  определяется отношением

$$i_{\gamma\gamma} = \Gamma_{\lambda t} \Gamma_{t f} / \Gamma_\lambda \Gamma_t . \quad /4/$$

Фрагментация малоквазичастичных состояний может приводить, в принципе, к зависимости парциальных ширин как первичного  $\Gamma_{\lambda t}$ , так и вторичного  $\Gamma_{t f}$ -переходов от амплитуд одноквазичастичных

компонент связываемых ими состояний. Неоднозначность интерпретации возможной связи интенсивности двухквантовых каскадов со структурой соответствующих уровней может быть существенно уменьшена, если просуммировать величины  $i_{\gamma\gamma}$  по конечным уровням каскадов  $f$ . Тогда эта сумма для любых энергий первичных переходов может быть определена через долю  $k(t)$  их парциальных ширин  $\Gamma_{\lambda t}$ :

$$\sum_f i_{\gamma\gamma} = k(t) \Gamma_{\lambda t} , \quad /5/$$

где коэффициент  $k(t) \leq 1$  определяется только полнотой набора конечных состояний  $f$ , для которых экспериментально исследованы двухквантовые каскады. И с учетом /3/ можно получить, что значение величины  $\Sigma I$  в любом интервале энергий первичных  $\gamma$ -переходов является нижней оценкой ширин  $\Gamma_{\lambda t}$ , просуммированных по соответствующему интервалу энергий переходов:

$$\Sigma I = k(t) \Gamma_{\lambda t} . \quad /6/$$

Среднее значение константы  $k = 0,4$  в ядрах  $^{175}\text{Yb}$  и  $^{179}\text{Hf}$ , а  $k = 0,5$  во всех трех рассматриваемых ядрах.

Следует отметить, что еще не менее 20% общей интенсивности всех первичных переходов в ядрах  $^{165}\text{Dy}$ ,  $^{175}\text{Yb}$  и  $^{179}\text{Hf}$  приходится на долю большого числа каскадов малой интенсивности, дающих в эксперименте сплошное распределение интенсивностей, не разрешаемое использованными детекторами.

Включение таких каскадов в анализируемое распределение /6/ увеличит среднее значение константы до  $k \approx 0,7 \pm 0,8$ , но не может изменить положения и формы максимумов в ее распределении в функции энергии возбуждения независимо от того, являются ли жесткие переходы каскадов малой интенсивности первичными или вторичными.

Матричный элемент  $M_{\lambda t} [E1(I^\pi)_\lambda \rightarrow (I^\pi)_t]$  первичного  $\gamma$ -перехода мультипольности  $E1$  между компаунд-состоянием  $\lambda$  и промежуточным уровнем  $t$  зависит, как видно из /2/, в частности, от одноквазичастичных компонент  $C_{\rho_\lambda}$  волновой функции компаунд-состояния. Наблюдаемое экспериментально /2-4/ увеличение интенсивности ряда двухквантовых каскадов относительно их значения, рассчитанного по статистической теории для компаунд-состояний ядер, характеризующихся большими относительными значениями  $\Gamma_n^\circ / \langle \Gamma_n^\circ \rangle$  приведенной нейтронной ширины резонансов, обуславливающих сечение захвата тепловых нейтронов, объяснено /4/ корреляцией  $\Gamma_n^\circ$  и  $\langle M_{\lambda t}^2 \rangle$ .

Другими словами, из /4/ прямо следует, что одноквазичастичные компоненты волновой функции компаунд-состояния должны вносить за-

метный вклад в значения матричных элементов и, следовательно, парциальных ширин  $\Gamma_{\lambda t}$  ряда первичных переходов. Кроме того,  $M_{\lambda t}$  определяется также величиной  $C_{pt}$  одночастичных компонент состояний  $p_t$  волновой функции промежуточного уровня  $t$ . Значение  $M_{\lambda t}$  включает в себя коэффициент  $v_{p\lambda p_t} = u_{p\lambda} u_{p_t} - v_{p\lambda} v_{p_t}$ , связанный со значением параметров  $u_{p\lambda}$  и  $v_{p\lambda}$  канонического преобразования Боголюбова тех одноквазичастичных состояний  $p$ , которые дают вклад в волновую функцию уровней  $\lambda$  и  $t$ , связанных первичным переходом.

#### 4. СРАВНЕНИЕ С ЭКСПЕРИМЕНТОМ

Согласно /5,14/ квазичастичная компонента волновой функции  $\gamma$ -резонансов ядер из области  $4S$ -максимума нейтронной силовой функции в значительной мере обусловлена фрагментацией квазичастичных состояний  $p_\lambda$  -  $640\downarrow$  и  $651\downarrow$ . Расчет, описанный в /5/, дает для ряда ядер из области  $165 \leq A \leq 179$  значения  $u_{p\lambda} \approx 0,99$  и  $v_{p\lambda} \approx 0,08$ . Из-за наличия коэффициента  $v_{p\lambda p_t}$  глубоколежащие дырочные состояния с обратным соотношением значений  $u_{p_t}$  и  $v_{p_t}$  должны давать малый вклад в ту часть матричного элемента  $M_{\lambda t}$  /2/, которая зависит от одноквазичастичных компонент состояний  $\lambda$  и  $t$ , связываемых переходом.

Матричный элемент /2/, записанный в общей форме, имеет сложный вид и при отсутствии доминирующих компонент не может сильно зависеть от каких-либо параметров состояний  $\lambda$  и  $t$ . Однако, как уже отмечалось ранее /2-4/, эксперимент указывает на возможность преимущественного вклада одночастичных компонент волновых функций  $\lambda$  и  $t$  в величину  $M_{\lambda t}$ . Если это действительно так, то парциальные ширины  $\gamma$ -переходов в анализируемых ядрах согласно /2/ должны зависеть от величин  $u_t$  одночастичных компонент состояний  $t$ , возбуждаемых ими. Прямая проверка этого заключения в настоящее время невозможна из-за отсутствия соответствующей экспериментальной информации о структуре промежуточных состояний  $t$ , возбуждаемых наиболее интенсивными каскадами в реакции ( $n, 2\gamma$ ). Но косвенное подтверждение возможности такой зависимости может быть получено из анализа экспериментальных интенсивностей /2-4/ двухквантowych каскадов на конечные уровни  $f$  с различной, но хорошо изученной структурой. Это можно показать /рис.1/, сопоставляя отношения

$$R_{yy} = \left( \sum_{tf} i_{yy}^9 / \sum_{tf} i_{yy}^T \right)_{t=p_f}$$

/7/

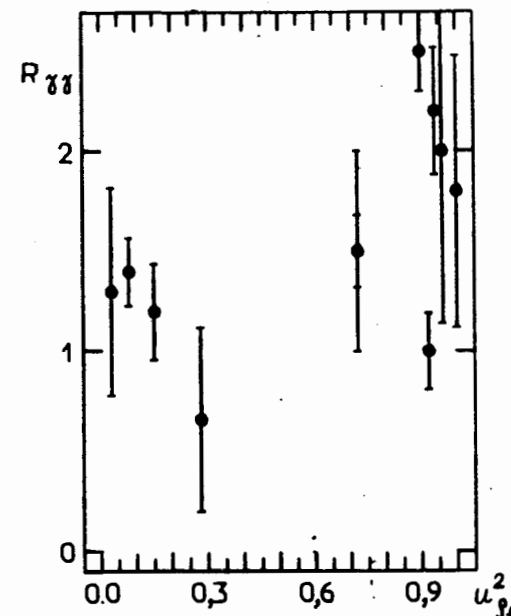


Рис.1. Отношение суммы экспериментальных интенсивностей всех возможных двухквантовых каскадов на уровне ротационных полос низколежащих состояний  $^{165}\text{Dy}$ ,  $^{175}\text{Yb}$  и  $^{179}\text{Hf}$  к теоретическим в функции параметра  $u_p^2$  состояния, определяющего структуру их конечного уровня.

с величиной параметра  $u_p^2$  для группы  $f$  уровней ротационной полосы состояний известной структуры, являющихся конечными для изученных экспериментально каскадов. Суммирование по конечным уровням здесь проведено только для ротационных полос состояний  $p_f$ . Наличие в матричном элементе /2/ коэффициента  $v_{pp'}$ , пропорционального произведению  $u_p u_{p'}$  для одноквазичастичных состояний с  $u_p^2 = 1$ , может приводить к усилению в среднем парциальных ширин первичных и вторичных переходов между состояниями с заметным вкладом одночастичных компонент в волновые функции соответствующих уровней. В итоге возможно усиление каскадов через такие состояния относительно каскадов на конечные уровни с меньшими значениями  $u_p^2$ .

Экспериментально определенные /2-4/ интенсивности каскадов

$$I_{yy}^9 = \sum_t i_{yy}^9$$

на заданный конечный уровень, естественно, зависят от энергии его возбуждения, а также от соотношения  $I_{\lambda}^T$  и  $I_t^T$ . Эта зависимость в первом приближении может быть учтена при сопоставлении  $I_{yy}^9$  с аналогичной величиной

$$I_{yy}^T = \sum_t i_{yy}^T,$$

расчитанной в рамках статистической теории  $\gamma$ -распада по набору моделей парциальных ширин и плотности уровней, использованных в /4/ и дающих наименьшее отклонение от эксперимента.

Анализ данных, представленных на рис.1, показывает, что между  $R_{yy}$  и  $u_p^2$  наблюдается положительная корреляция. При имею-

щейся точности эксперимента уровень достоверности наличия такой корреляции 90%.

Структура промежуточного уровня двухквантовых каскадов, наблюдавшихся в эксперименте, неизвестна. Однако следует принять во внимание то, что:

1/ вероятность образования компаунд-состояния при захвате нейтрона определяется<sup>/14/</sup> в первую очередь величиной одноквазичастичных компонент волновой функции состояния;

2/ в ядрах изучаемого типа весьма вероятна<sup>/4/</sup> корреляция  $\Gamma_{\text{p}}$  и  $\Gamma_{\lambda t}$ , что согласно<sup>/13/</sup> свидетельствует об участии в этих процессах одних и тех же компонент резонанса;

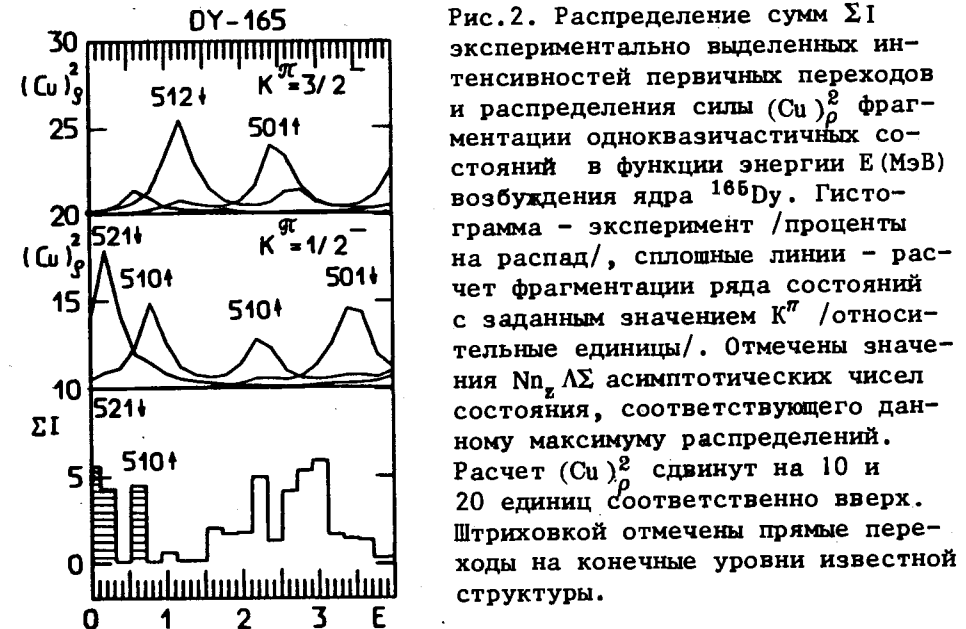
3/ конечные уровни каскадов в исследованных ядрах имеют практически чисто одноквазичастичную структуру;

4/ в теоретическом анализе<sup>/14/</sup> получено, что связь парциальных  $\gamma$ -переходов со спектроскопическим фактором распадающегося уровня /то есть возможность корреляции  $\Gamma_{\lambda t}$  и  $\Gamma_{\text{p}}$ / отсутствует в случае  $\gamma$ -переходов с изменением состояний многих квазичастич.

Все это позволяет с большой вероятностью предположить, что особенности структуры промежуточных уровней интенсивных двухквантовых каскадов могут быть связаны с наличием заметных а/ одноквазичастичных; б/ трехквазичастичных или квазичастичца + фонон компонент в соответствующих волновых функциях. Несмотря на то, что возможный вид компонент волновой функции промежуточного уровня каскада, определяющих его интенсивность, не установлен, хотя и ограничен изложенными выше соображениями, наличие заметных малоквазичастичных компонент в структуре уровней, связываемых каскадом, по-видимому, является достаточным условием для возможности его усиления. /Основной постулат статистической теории - компоненты волновой функции компаунд-состояния достаточно малы и среди них нет заметно отличающихся по величине от остальных/.

Отсутствие как детальных экспериментальных данных по трехквазичастичным высоколежащим уровням или состояниям типа квазичастичца + фонон, так и соответствующих теоретических расчетов вынуждает нас ограничиться сопоставлением распределений экспериментальных интенсивностей  $\Sigma I$  только с результатами расчета фрагментации одноквазичастичных состояний, то есть с распределением величин  $(Cu)_{\rho}^2$  в функции энергии возбуждения компаунд-ядра. Сопоставление эксперимента с расчетом при этом ограничивается только состояниями с орбитальным моментом  $l=1$ , поскольку в рассматриваемых ядрах, как отмечалось выше, первичные переходы каскадов должны иметь мультипольность  $E1$  и, соответственно, возбуждать уровни с  $K'' = 1/2^-$  и  $3/2^-$ .

Следует отметить, что расчеты по КФМЯ достаточно хорошо воспроизводят<sup>/12/</sup> значения нейтронных силовых функций; это об-



стоятельство дает основание надеяться на правильное описание одночастичных компонент при меньших энергиях возбуждения ядра.

б экспериментальные интенсивности первичных  $\gamma$ -переходов  $\Sigma I$ , представленные на рис.2-4, включены и неразмещенные в схеме  $\gamma$ -распада<sup>/7-9/</sup> каскады в предположении, что их первичным переходом является более жесткий. Их доля для рассматриваемых ядер  $^{185}\text{Dy}$ ,  $^{175}\text{Yb}$  и  $^{179}\text{Hf}$  составляет около 11% на распад компаунд-состояния.

Более существенны для сопоставления с рассчитанной фрагментацией одночастичных состояний прямые переходы на конечные одноквазичастичные уровни f наблюдавшихся в<sup>/7-9/</sup> каскадов. Их доля в анализируемых ядрах составляет от 9 до 14% на распад компаунд-состояния. Соответствующие данные помечены на гистограммах рис.2-4 значениями  $Nn, \Lambda\Sigma$  состояний, определяющих структуру уровней f, и штриховкой.

Наибольшие значения величин  $(Cu)_{\rho}^2$ , приведенных на рис.2-4, наблюдаются для нейтронных одноквазичастичных состояний  $510^+$ ,  $521^+$ ,  $501^+$ ,  $512^+$  и  $501^+$ . В разложении соответствующих одночастичных состояний по сферическому базису наибольшими компонентами для них в основном являются  $3P_{1/2}$  и  $3P_{3/2}$ <sup>/13/</sup>. Из рисунков видно, что высокой интенсивности ряда первичных переходов /расположенных в ближайшей окрестности по энергии возбуждения/ соответствуют области концентрации силы одноквазичастич-

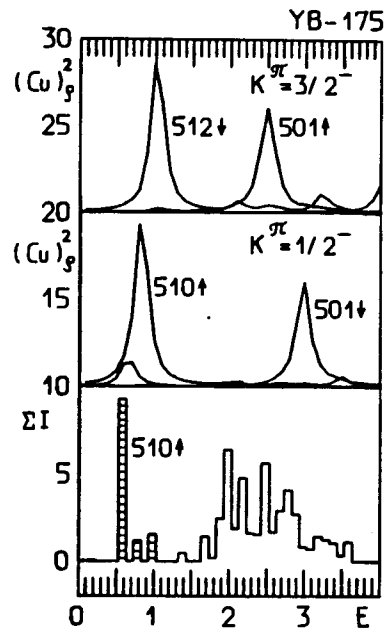


Рис.3. Зависимость величин  $\Sigma I$  и  $(Cu)_\rho^2$  от энергии возбуждения  $E$  (МэВ) для  $^{175}\text{Yb}$ . Обозначения, как на рис.2.

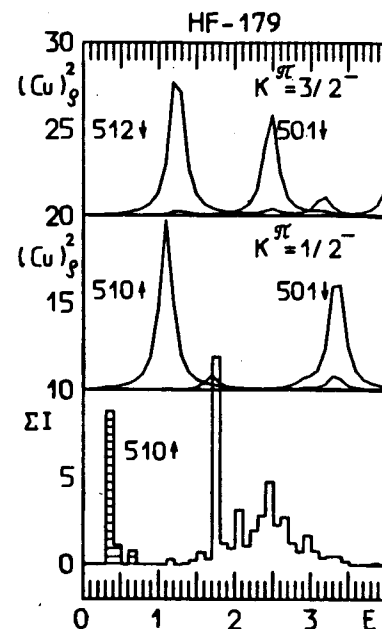


Рис.4. Зависимость величин  $\Sigma I$  и  $(Cu)_\rho^2$  от энергии возбуждения  $E$  (МэВ) для  $^{179}\text{Hf}$ . Обозначения, как на рис.2.

ных состояний. Для всех трех ядер явное соответствие положений максимумов распределений величин  $\Sigma I$  и  $(Cu)_\rho^2$  однозначно наблюдается для состояния  $510^\downarrow$ , в случае  $^{185}\text{Dy}$ , для состояния  $521^\downarrow$ . Это существенно постольку, поскольку структура уровней, возбуждаемых первичными переходами, определена экспериментально только при этих энергиях возбуждения составного ядра.

Из рис.2-4 видно, что соответствие положений пиков наблюдается также для состояний  $501^\downarrow$  и  $501^\uparrow$ , расположенных при промежуточных энергиях возбуждения. Однако оно требует дополнительного подтверждения, поскольку сейчас нет определенной экспериментальной спектроскопической информации об энергетическом расположении указанных уровней. Еще более сложная ситуация с состоянием  $512^\downarrow$ . Хотя это состояние известно экспериментально и его энергетическое положение неплохо описывается теоретически для  $^{185}\text{Dy}$  и  $^{175}\text{Yb}$ , из рис.2-4 не видно какого-либо соответствия между распределением величин  $(Cu)_\rho^2$  и  $\Sigma I$ . Видно, при-

чину этого можно понять лишь путем непосредственного вычисления вероятности  $\lambda \rightarrow t \rightarrow f$   $\gamma$ -переходов.

При сопоставлении положений максимумов  $\Sigma I$  и  $(Cu)_\rho^2$  необходимо учитывать, что расчетное положение области максимальной концентрации силы фрагментированного состояния может отклоняться от реального на несколько сотен кэВ. Так, например, в  $^{175}\text{Yb}$  экспериментальное значение энергии состояния  $510^\downarrow$  равно 511 кэВ, а расчет дает  $\approx 800$  кэВ.

С учетом этого обстоятельства сопоставление распределений интенсивностей  $\Sigma I$  и силы  $(Cu)_\rho^2$  фрагментированных одноквазичастичных состояний может быть только качественным.

## 5. ЗАКЛЮЧЕНИЕ

Таким образом, сопоставление распределений силы одноквазичастичных состояний по энергии возбуждения ядра с нижней оценкой распределения сумм парциальных ширин прямых и первичных каскадных  $\gamma$ -переходов указывает на качественное соответствие в положении их максимумов. На этом основании можно ожидать, что наблюдаемое усиление интенсивности двухквантовых каскадов<sup>/2-4/</sup> в компаунд-ядрах  $^{185}\text{Dy}$ ,  $^{175}\text{Yb}$  и  $^{179}\text{Hf}$  является проявлением одночастичных переходов между  $4S$ - и  $3P$ -оболочками. Переходы аналогичного типа между  $3S$ - и  $2P$ -,  $3P$ - и  $3S$ -оболочками детально изучены<sup>/15/</sup> при распаде компаунд-состояний сферических ядер из соответствующих областей атомного веса. Прямое наблюдение переходов  $4S \rightarrow 3P$  при исследовании реакции ( $p, \gamma$ ) в области  $4S$ -резонанса затруднено<sup>/15/</sup> и большой плотностью уровней, и фрагментацией одночастичных состояний в деформированном ядре. Это исследование, по всей вероятности, значительно эффективнее при исследовании двухквантовых каскадов, заселяющих конечные состояния с ярко выраженной одночастичной структурой. При этом оказывается, что, как и в случае переходов  $3P \rightarrow 3S$ , усиление их интенсивности достигает фактора 2.

## ЛИТЕРАТУРА

- Бонева С.Т. и др. ОИЯИ, Р6-88-106, Дубна, 1988.
- Попов Ю.П. и др. - ЯФ, 1984, т.40, в.3/9/, с.573.
- Васильева Э.В. и др. - ЯФ, 1986, т.44, в.4/10/, с.857.
- Бонева С.Т. и др. ОИЯИ, Р3-87-513, Дубна, 1987.
- Малов Л.А., Соловьев В.Г. - ЯФ, 1977, т.26, в.4/10/, с.729.
- Dutta B.C. et al. Z.Phys., 1967, B207, N2, S.153.
- Попов Ю.П. и др.-Изв. АН СССР, сер.физ., 1984, т.48, с.891.

8. Васильева Э.В. и др. - Изв. АН СССР, сер.физ., 1984, т.48, с.1907.
9. Бонева С.Т. и др. ОИЯИ, Р6-86-493, Дубна, 1986.
10. Nuclear Data Tables, 1981, v.26, p.511.
11. Малов Л.А. ОИЯИ, Р4-81-816, Дубна, 1981.
12. Malov L.A., Soloviev V.G. - Nucl.Phys., 1976, A270, No.1, p.87.
13. Гареев Ф.А. и др. - ЭЧАЯ, 1973, т.4, в.2, с.357.
14. Соловьев В.Г. - ЭЧАЯ, 1972, т.3, в.4, с.770.
15. Mughabghab S.F., Chrien R.E. - In: Neutron Capture Gamma-Ray Spectroscopy, Ed. R.E.Chrien, W.R.Kane. Plenum Press, N.Y., 1978, p.265.

Бонева С.Т. и др.  
Интенсивные двухквантовые каскады и фрагментация  
квазичастичных состояний в некоторых деформированных ядрах

P3-88-371

Проведено сопоставление распределения сумм интенсивностей первичных  $\gamma$ -переходов радиационного захвата нейтронов /их' нижней оценки/ с распределением силы фрагментированных одноквазичастичных состояний деформированного потенциала Саксона - Вудса в зависимости от энергии возбуждения компаунд-ядер  $^{165}\text{Dy}$ ,  $^{178}\text{Yb}$  и  $^{179}\text{Hf}$ . Показано, что расчетное положение области максимальной концентрации силы фрагментированных состояний  $510^+$ ,  $521^+$ ,  $501^+$  и  $501^+$  в пределах нескольких сотен кэВ совпадает с той областью энергий возбуждения рассматриваемых ядер, где наблюдается значительное усиление интенсивности первичных переходов. Высказывается предположение о том, что экспериментально наблюдаемое усиление интенсивности первичных переходов обусловлено наличием заметных одноквазичастичных компонент волновых функций двух состояний, связанных первичным переходом.

Работа выполнена в Лаборатории нейтронной физики ОИЯИ.

Препринт Объединенного института ядерных исследований. Дубна 1988

Перевод Т.Ф.Дроздовой

Boneva S.T. et al.  
Intensive Two-Quantum Cascades and Quasiparticle States.  
Fragmentation in Some Deformed Nuclei

P3-88-371

Distributions of sums of intensities of primary  $\gamma$ -transitions following neutron capture (their low limit) are compared with strength distributions of fragmented single-quasiparticle states of the deformed Saxon-Woods potential in dependence on excitation energy of  $^{165}\text{Dy}$ ,  $^{178}\text{Yb}$  and  $^{179}\text{Hf}$  compound nuclei. The calculated interval of maximum strength of fragmented states  $510^+$ ,  $521^+$ ,  $501^+$  and  $501^+$  coincides within a few hundreds keV with the excitation energy range of the observed enhancement of primary transitions. This enhancement is assumed to be due to the presence of appreciable single-quasiparticle wave function components of two excited states connected by a primary transition.

The investigation has been performed at the Laboratory of Neutron Physics, JINR.

Preprint of the Joint Institute for Nuclear Research. Dubna 1988

Рукопись поступила в издательский отдел  
27 мая 1988 года.